

# Fundamentos de Aprendizaje Automático

## Redes neuronales

Instituto de Ingeniería Eléctrica  
Facultad de Ingeniería



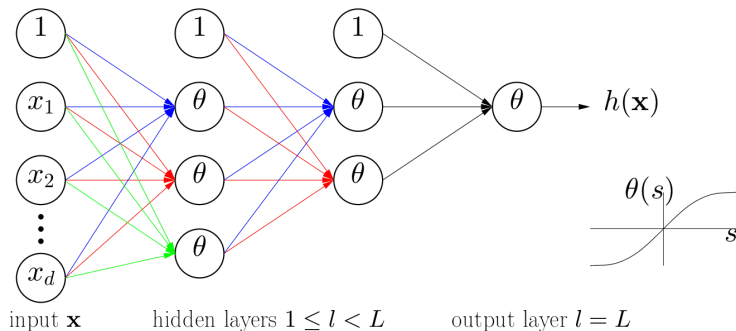
UNIVERSIDAD  
DE LA REPÚBLICA  
URUGUAY

Montevideo, 2021

- ① Perceptrón multicapa
- ② Aproximación versus generalización
- ③ Regularización y validación
- ④ Redes neuronales profundas
- ⑤ Redes neuronales convolucionales
- ⑥ Redes neuronales recurrentes

- ① Perceptrón multicapa
- ② Aproximación versus generalización
- ③ Regularización y validación
- ④ Redes neuronales profundas
- ⑤ Redes neuronales convolucionales
- ⑥ Redes neuronales recurrentes

# Perceptrón multicapa



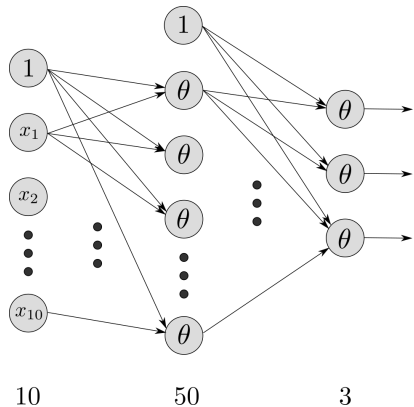
$$x_j^{(l)} = \theta(s_j^{(l)}) = \theta \left( \sum_{i=0}^{d^{(l-1)}} w_{ij}^{(l)} x_i^{(l-1)} \right)$$

$$x_1^{(0)} \dots x_{d^{(0)}}^{(0)} \rightarrow \dots \rightarrow x_1^L = h(\mathbf{x})$$

$$w_{ij}^{(l)} = \begin{cases} 1 \leq i \leq L & \text{layers} \\ 0 \leq j \leq d^{(l-1)}L & \text{inputs} \\ 1 \leq j \leq d^{(l)}L & \text{outputs} \end{cases}$$

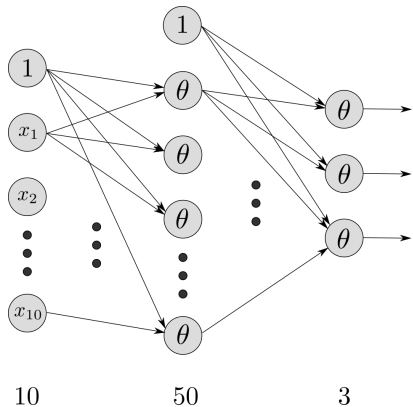
## Ejercicio

Considere un perceptrón multicapa con 10 entradas, seguido de una capa oculta con 50 neuronas y una capa de salida con 3 neuronas. Sea  $m$  el tamaño del lote.



## Ejercicio

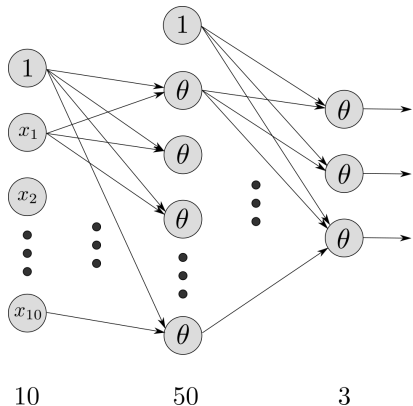
Considere un perceptrón multicapa con 10 entradas, seguido de una capa oculta con 50 neuronas y una capa de salida con 3 neuronas. Sea  $m$  el tamaño del lote.



- ① ¿Cuál es la dimensión de la matriz  $\mathbf{X}$ ?
- ② ¿Cuál es la dimensión de  $\mathbf{W}_h$  y  $\mathbf{b}_h$ ?
- ③ ¿Cuál es la dimensión de  $\mathbf{W}_o$  y  $\mathbf{b}_o$ ?
- ④ ¿Cuál es la dimensión de la matriz  $\mathbf{Y}$ ?
- ⑤ Escriba la ecuación para calcular la salida.

## Ejercicio

Considere un perceptrón multicapa con 10 entradas, seguido de una capa oculta con 50 neuronas y una capa de salida con 3 neuronas. Sea  $m$  el tamaño del lote.



- 1 ¿Cuál es la dimensión de la matriz  $\mathbf{X}$ ?
- 2 ¿Cuál es la dimensión de  $\mathbf{W}_h$  y  $\mathbf{b}_h$ ?
- 3 ¿Cuál es la dimensión de  $\mathbf{W}_o$  y  $\mathbf{b}_o$ ?
- 4 ¿Cuál es la dimensión de la matriz  $\mathbf{Y}$ ?
- 5 Escriba la ecuación para calcular la salida.

$$\mathbf{X} : (m \times 10), \mathbf{W}_h : (10 \times 50), \mathbf{b}_h : (50)$$

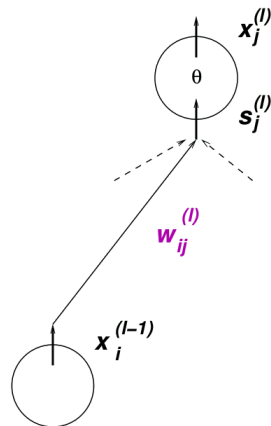
$$\mathbf{W}_h : (50 \times 3), \mathbf{b}_o : (3), \mathbf{Y} : (m \times 3)$$

$$\mathbf{Y}^* = \theta(\theta(\mathbf{X}\mathbf{W}_h + \mathbf{b}_h)\mathbf{W}_o + \mathbf{b}_o)$$

# Propagación hacia atrás

Backpropagation\*: gradiente descendente eficiente

$$\nabla e(\mathbf{w}) : \frac{\partial e(\mathbf{w})}{\partial w_{ij}^{(l)}} \quad \forall i, j, l \quad \frac{\partial e(\mathbf{w})}{\partial w_{ij}^{(l)}} = \frac{\partial e(\mathbf{w})}{\partial s_j^{(l)}} \times \frac{\partial s_j^{(l)}}{\partial w_{ij}^{(l)}}$$



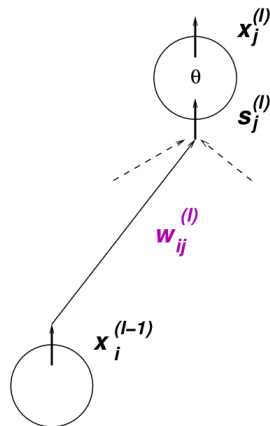
\* D. E. Rumelhart, G. E. Hinton, and R. J. Williams, "Learning representations by back-propagating errors," *Nature*, vol. 323, no. 6088, pp. 533–536, 1986

# Propagación hacia atrás

Backpropagation\*: gradiente descendente eficiente

$$\nabla e(\mathbf{w}) : \frac{\partial e(\mathbf{w})}{\partial w_{ij}^{(l)}} \quad \forall i, j, l \quad \frac{\partial e(\mathbf{w})}{\partial w_{ij}^{(l)}} = \frac{\partial e(\mathbf{w})}{\partial s_j^{(l)}} \times \frac{\partial s_j^{(l)}}{\partial w_{ij}^{(l)}}$$

$$\frac{\partial s_j^{(l)}}{\partial w_{ij}^{(l)}} = x_i^{(l-1)} \quad \frac{\partial e(\mathbf{w})}{\partial s_j^{(l)}} = \delta_j^{(l)}$$



\* D. E. Rumelhart, G. E. Hinton, and R. J. Williams, "Learning representations by back-propagating errors," *Nature*, vol. 323, no. 6088, pp. 533–536, 1986

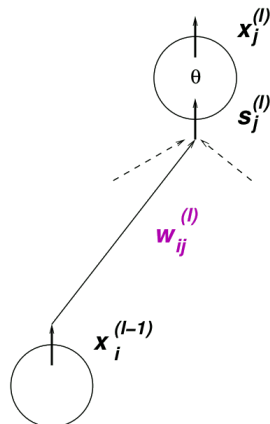
# Propagación hacia atrás

Backpropagation\*: gradiente descendente eficiente

$$\nabla e(\mathbf{w}) : \frac{\partial e(\mathbf{w})}{\partial w_{ij}^{(l)}} \quad \forall i, j, l \quad \frac{\partial e(\mathbf{w})}{\partial w_{ij}^{(l)}} = \frac{\partial e(\mathbf{w})}{\partial s_j^{(l)}} \times \frac{\partial s_j^{(l)}}{\partial w_{ij}^{(l)}}$$

$$\frac{\partial s_j^{(l)}}{\partial w_{ij}^{(l)}} = x_i^{(l-1)} \quad \frac{\partial e(\mathbf{w})}{\partial s_j^{(l)}} = \delta_j^{(l)}$$

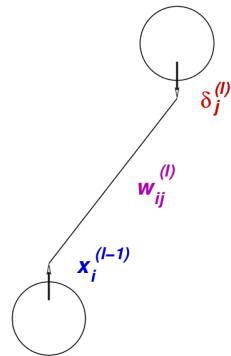
se calcula  $\delta_1^{(L)}$  (última capa) y se propaga hacia atrás



\* D. E. Rumelhart, G. E. Hinton, and R. J. Williams, "Learning representations by back-propagating errors," *Nature*, vol. 323, no. 6088, pp. 533–536, 1986

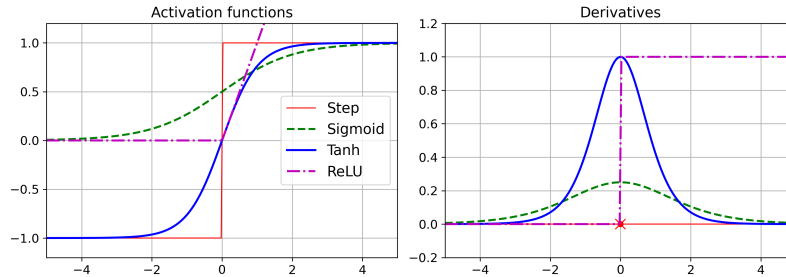
# Propagación hacia atrás

- 1: Initialize all weights  $w_{ij}^{(l)}$  **at random**
- 2: **for**  $t = 0, 1, 2, \dots$  **do**
- 3:   Pick  $n \in \{1, 2, \dots, N\}$
- 4:   **Forward:** Compute all  $x_j^{(l)}$
- 5:   **Backward:** Compute all  $\delta_j^{(l)}$
- 6:   Update the weights:  $w_{ij}^{(l)} \leftarrow w_{ij}^{(l)} - \eta x_i^{(l-1)} \delta_j^{(l)}$
- 7:   Iterate to the next step until it is time to stop
- 8: Return the final weights  $w_{ij}^{(l)}$



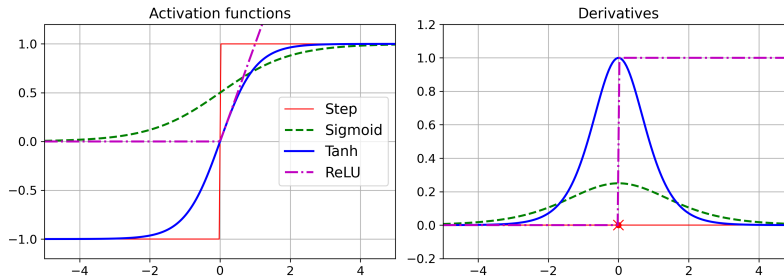
# Funciones de activación

- Sigmoid :  $\theta(x) = \frac{1}{1+e^{-x}}$
- Tanh :  $\theta(x) = \tanh(x) = \frac{e^x - e^{-x}}{e^x + e^{-x}}$
- ReLU :  $\theta(x) = \max(0, x)$



# Funciones de activación

- Sigmoid :  $\theta(x) = \frac{1}{1+e^{-x}}$
- Tanh :  $\theta(x) = \tanh(x) = \frac{e^x - e^{-x}}{e^x + e^{-x}}$
- ReLU :  $\theta(x) = \max(0, x)$



## Pregunta

¿Para qué necesitamos funciones de activación? ¿Sería suficiente con funciones lineales?

- ① Perceptrón multicapa
- ② Aproximación versus generalización
- ③ Regularización y validación
- ④ Redes neuronales profundas
- ⑤ Redes neuronales convolucionales
- ⑥ Redes neuronales recurrentes

# Aproximación versus generalización

## Teorema de aproximación universal

Una red neuronal prealimentada (feed-forward) con una única capa oculta y un número finito de neuronas, puede aproximar cualquier función continua en un espacio compacto de  $\mathbb{R}^n$ .\*†‡

---

\* G. Cybenko, "Approximation by superpositions of a sigmoidal function," *Mathematics of Control, Signals and Systems*, vol. 2, no. 4, pp. 303–314, 1989

† K. Hornik, "Approximation capabilities of multilayer feedforward networks," *Neural Networks*, vol. 4, no. 2, pp. 251–257, 1991

‡ Z. Lu, H. Pu, F. Wang, Z. Hu, and L. Wang, "The expressive power of neural networks: A view from the width," in *Advances in NIPS*, vol. 30, 2017

# Aproximación versus generalización

## Teorema de aproximación universal

Una red neuronal prealimentada (feed-forward) con una única capa oculta y un número finito de neuronas, puede aproximar cualquier función continua en un espacio compacto de  $\mathbb{R}^n$ .\*†

- el ancho de la red debe ser exponencialmente grande
- aproximación universal para redes profundas de ancho acotado ‡

\* G. Cybenko, "Approximation by superpositions of a sigmoidal function," *Mathematics of Control, Signals and Systems*, vol. 2, no. 4, pp. 303–314, 1989

† K. Hornik, "Approximation capabilities of multilayer feedforward networks," *Neural Networks*, vol. 4, no. 2, pp. 251–257, 1991

‡ Z. Lu, H. Pu, F. Wang, Z. Hu, and L. Wang, "The expressive power of neural networks: A view from the width," in *Advances in NIPS*, vol. 30, 2017

# Aproximación versus generalización

## Teorema de aproximación universal

Una red neuronal prealimentada (feed-forward) con una única capa oculta y un número finito de neuronas, puede aproximar cualquier función continua en un espacio compacto de  $\mathbb{R}^n$ .\*†

- el ancho de la red debe ser exponencialmente grande
- aproximación universal para redes profundas de ancho acotado ‡

## Generalización

Las redes neuronales tienen tendencia al sobreajuste.

\* G. Cybenko, "Approximation by superpositions of a sigmoidal function," *Mathematics of Control, Signals and Systems*, vol. 2, no. 4, pp. 303–314, 1989

† K. Hornik, "Approximation capabilities of multilayer feedforward networks," *Neural Networks*, vol. 4, no. 2, pp. 251–257, 1991

‡ Z. Lu, H. Pu, F. Wang, Z. Hu, and L. Wang, "The expressive power of neural networks: A view from the width," in *Advances in NIPS*, vol. 30, 2017

# Aproximación versus generalización

## Teorema de aproximación universal

Una red neuronal prealimentada (feed-forward) con una única capa oculta y un número finito de neuronas, puede aproximar cualquier función continua en un espacio compacto de  $\mathbb{R}^n$ .\*†

- el ancho de la red debe ser exponencialmente grande
- aproximación universal para redes profundas de ancho acotado ‡

## Generalización

Las redes neuronales tienen tendencia al sobreajuste.

- resultados teóricos sobre error de generalización ( $d_{VC}$ )
- regularización y validación para prevenir sobreajuste

\* G. Cybenko, "Approximation by superpositions of a sigmoidal function," *Mathematics of Control, Signals and Systems*, vol. 2, no. 4, pp. 303–314, 1989

† K. Hornik, "Approximation capabilities of multilayer feedforward networks," *Neural Networks*, vol. 4, no. 2, pp. 251–257, 1991

‡ Z. Lu, H. Pu, F. Wang, Z. Hu, and L. Wang, "The expressive power of neural networks: A view from the width," in *Advances in NIPS*, vol. 30, 2017

- ① Perceptrón multicapa
- ② Aproximación versus generalización
- ③ Regularización y validación
- ④ Redes neuronales profundas
- ⑤ Redes neuronales convolucionales
- ⑥ Redes neuronales recurrentes

## Regularización y validación

- Ridge (weight decay):

Error con penalización sobre la complejidad del modelo.

$$E_{aug}(w) = E_{in}(w) + \frac{\lambda}{N} \sum_{i,j,l} (w_{ij}^{(l)})^2$$

# Regularización y validación

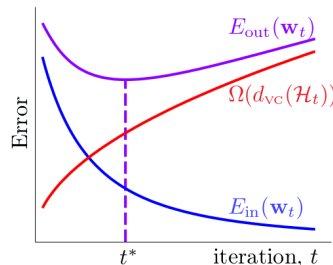
- Ridge (weight decay):

Error con penalización sobre la complejidad del modelo.

$$E_{\text{aug}}(\mathbf{w}) = E_{\text{in}}(\mathbf{w}) + \frac{\lambda}{N} \sum_{i,j,l} (w_{ij}^{(l)})^2$$

- Early stopping:

Se detiene el entrenamiento antes de sobreajustar, evaluando en validación.



# Regularización y validación

- Dropout

Ignorar aleatoriamente algunas neuronas (10 a 50%) en cada paso de entrenamiento. Se obtiene una red menos sensible a cambios en la entrada y menos sobreajustada.

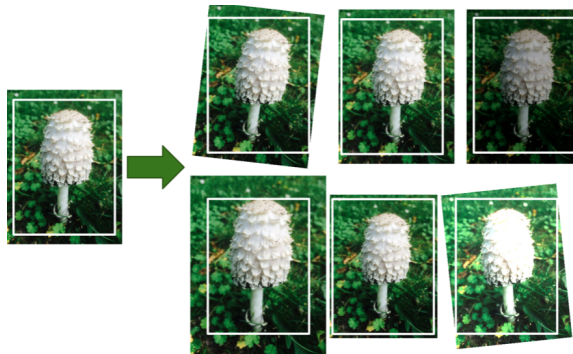
# Regularización y validación

- Dropout

Ignorar aleatoriamente algunas neuronas (10 a 50%) en cada paso de entrenamiento. Se obtiene una red menos sensible a cambios en la entrada y menos sobreajustada.

- Data augmentation

Aumentar artificialmente los datos de entrenamiento mediante transformaciones (realistas).



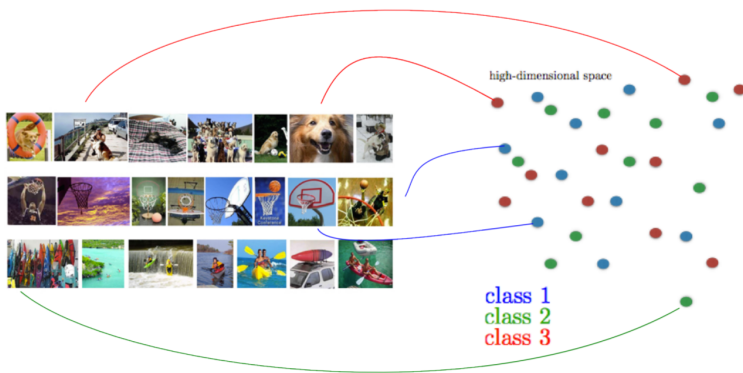
- ① Perceptrón multicapa
- ② Aproximación versus generalización
- ③ Regularización y validación
- ④ Redes neuronales profundas
- ⑤ Redes neuronales convolucionales
- ⑥ Redes neuronales recurrentes

## Redes neuronales profundas: aprendizaje profundo

Una clase de representaciones paramétricas no lineales capaces de codificar características (o conocimiento) del problema y de ser optimizadas de forma eficiente (a enorme escala) usando métodos de descenso por gradiente estocástico.

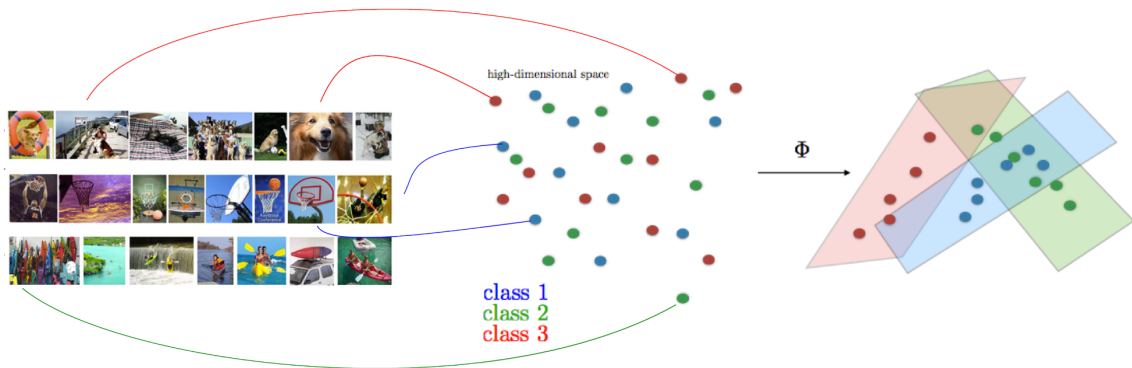
# Redes neuronales profundas: aprendizaje profundo

Una clase de representaciones paramétricas no lineales capaces de codificar características (o conocimiento) del problema y de ser optimizadas de forma eficiente (a enorme escala) usando métodos de descenso por gradiente estocástico.



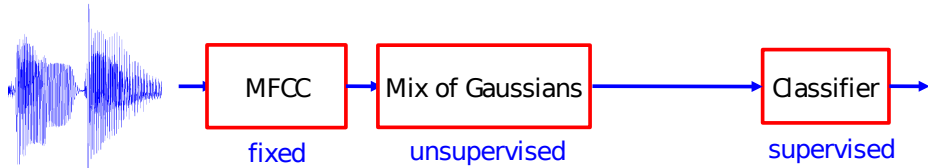
# Redes neuronales profundas: aprendizaje profundo

Una clase de representaciones paramétricas no lineales capaces de codificar características (o conocimiento) del problema y de ser optimizadas de forma eficiente (a enorme escala) usando métodos de descenso por gradiente estocástico.

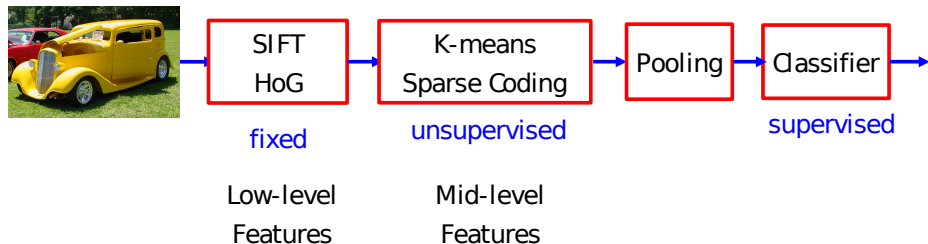


# Arquitecturas de reconocimiento de patrones

Reconocimiento de audio, principios de los 90 hasta el 2011:



Reconocimiento de imágenes, principios del 2000 hasta el 2011:

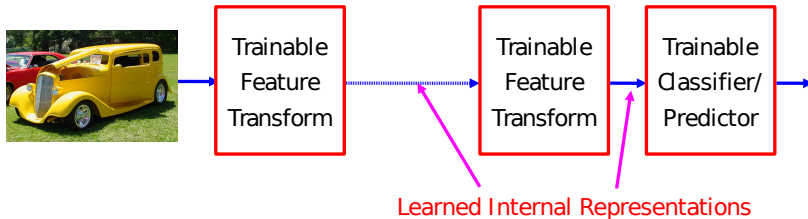


Low-level  
Features

Mid-level  
Features

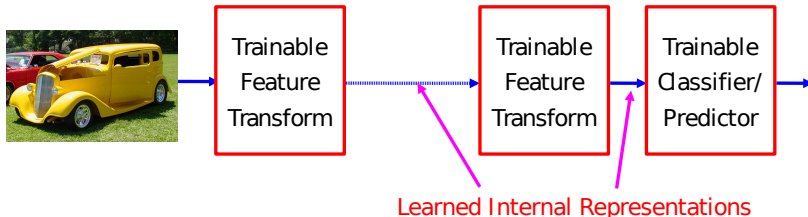
Ejemplo tomado de charlas de Y. Lecun.

# Representaciones jerárquicas adaptivas



- Una jerarquía de representaciones (capas) con **mayores niveles de abstracción**
- Cada capa es una representación de características adaptiva (entrenable)

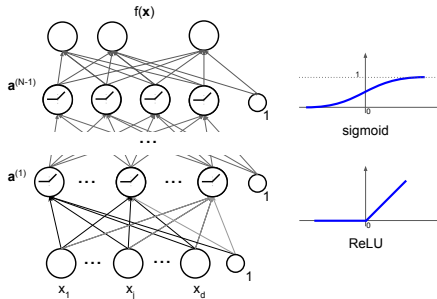
# Representaciones jerárquicas adaptivas



- Una jerarquía de representaciones (capas) con **mayores niveles de abstracción**
- Cada capa es una representación de características adaptiva (entrenable)
- Imágenes:
  - píxeles → bordes → partes → objetos

# Redes neuronales profundas: funciones de activación

- el gradiente puede desvanecerse o explotar en el entrenamiento
- inicialización inadecuada y función de activación que satura

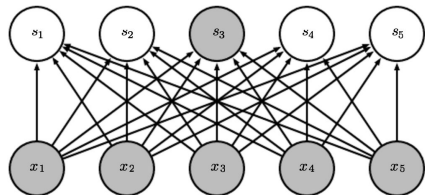


- la función ReLU:  $h(x) = \max(0, x)$  da mejores resultados
- **Batch Normalization**: escalado y corrimiento de las entradas de cada capa (con parámetros aprendidos).

- ① Perceptrón multicapa
- ② Aproximación versus generalización
- ③ Regularización y validación
- ④ Redes neuronales profundas
- ⑤ Redes neuronales convolucionales
- ⑥ Redes neuronales recurrentes

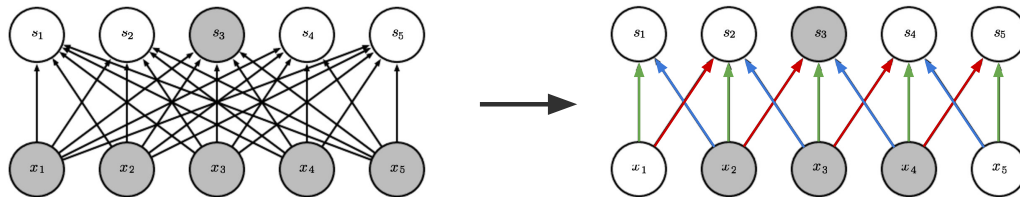
# Redes neuronales convolucionales (CNN)

- Para datos en altas dimensiones, las redes neuronales *totalmente conectadas*, tal como vimos hasta ahora requieren un gran número de parámetros
- Por ejemplo, procesar imágenes de Imagenet (tamaño  $224 \times 224 \times 3$ ) para clasificar entre 1000 clases, con una sola capa requeriría 150 millones de parámetros.

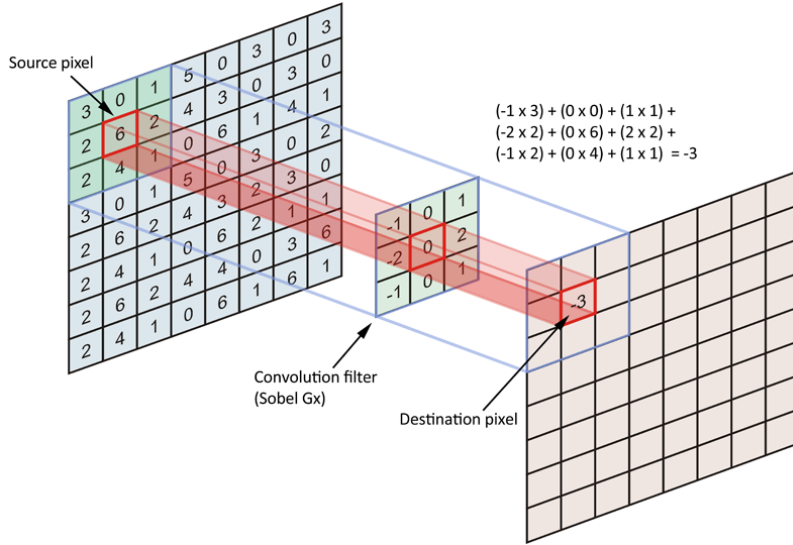


# Redes neuronales convolucionales (CNN)

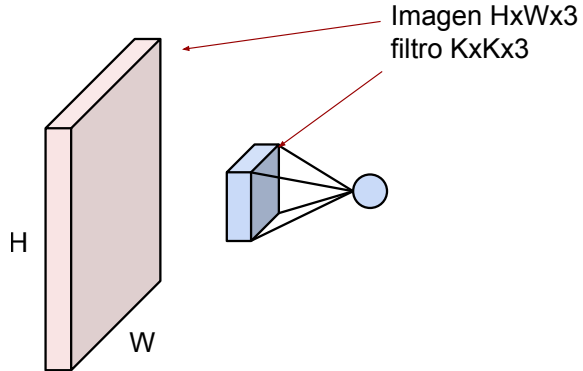
- Para datos en altas dimensiones, las redes neuronales *totalmente conectadas*, tal como vimos hasta ahora requieren un gran número de parámetros
- Por ejemplo, procesar imágenes de Imagenet (tamaño  $224 \times 224 \times 3$ ) para clasificar entre 1000 clases, con una sola capa requeriría 150 millones de parámetros.
- Las redes de convolución surgen para evitar este problema haciendo cálculos más eficientes y explotando invariantes inherentes a las imágenes



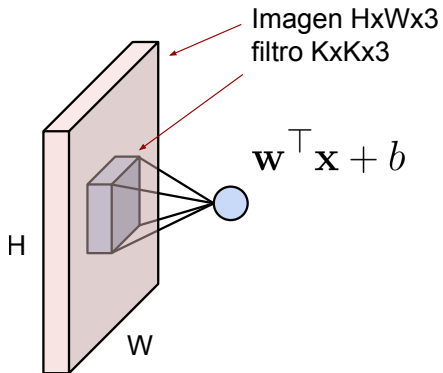
# Convolución



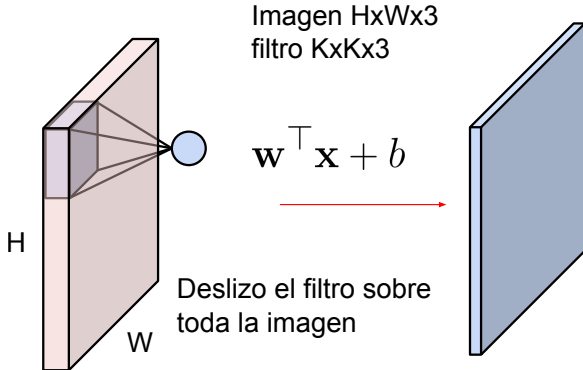
## Capa de convolución



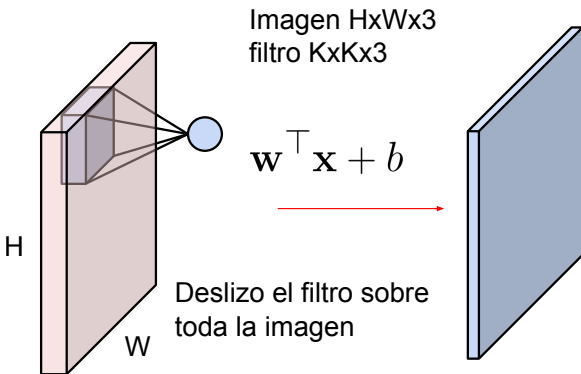
## Capa de convolución



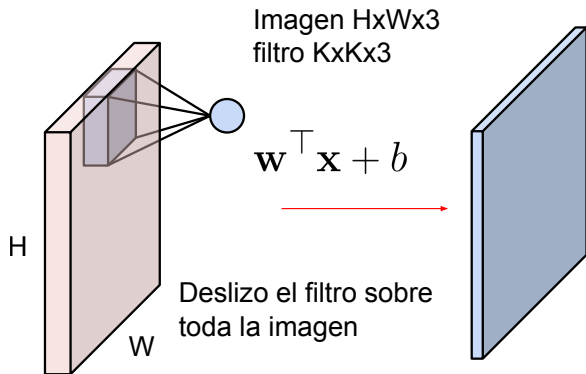
## Capa de convolución



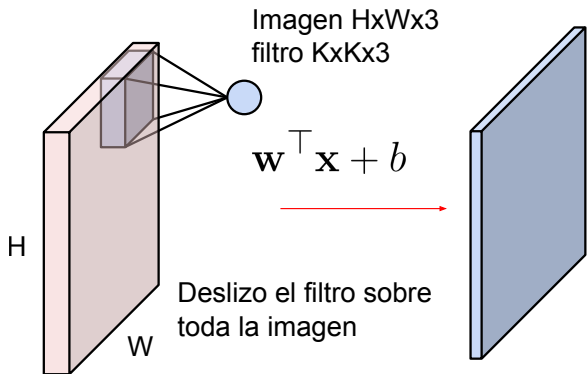
# Capa de convolución



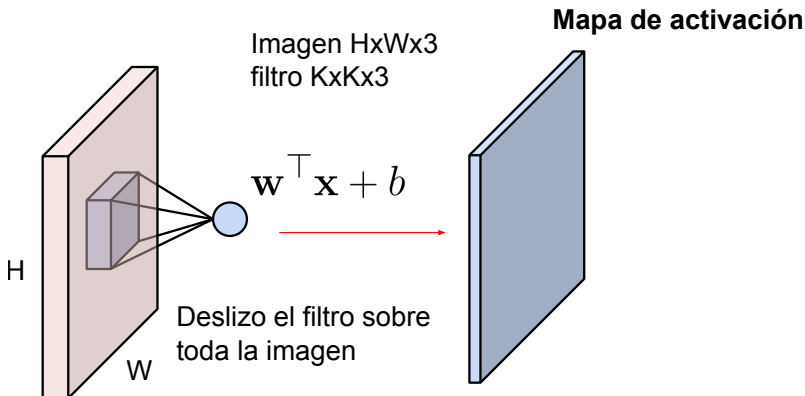
# Capa de convolución



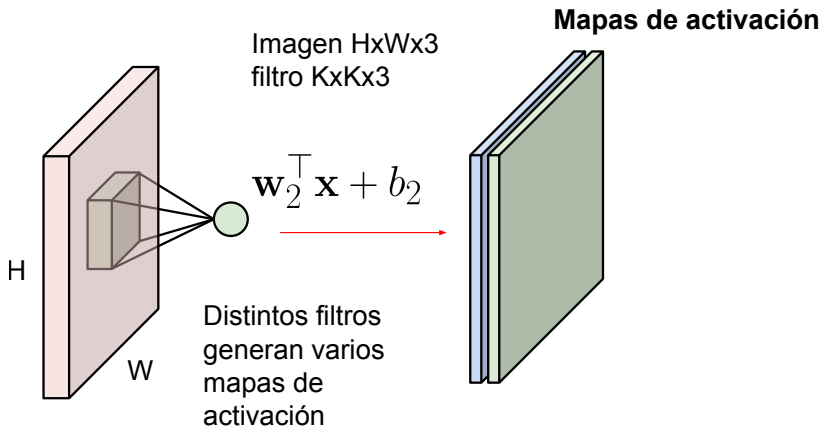
## Capa de convolución



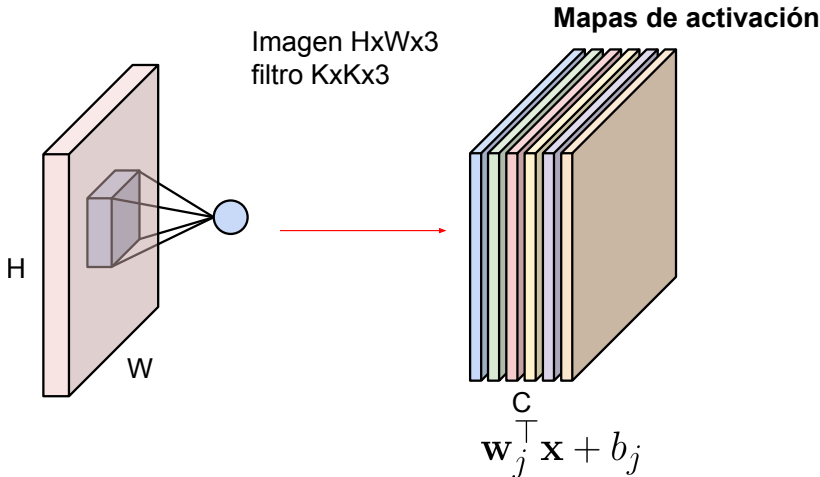
# Capa de convolución



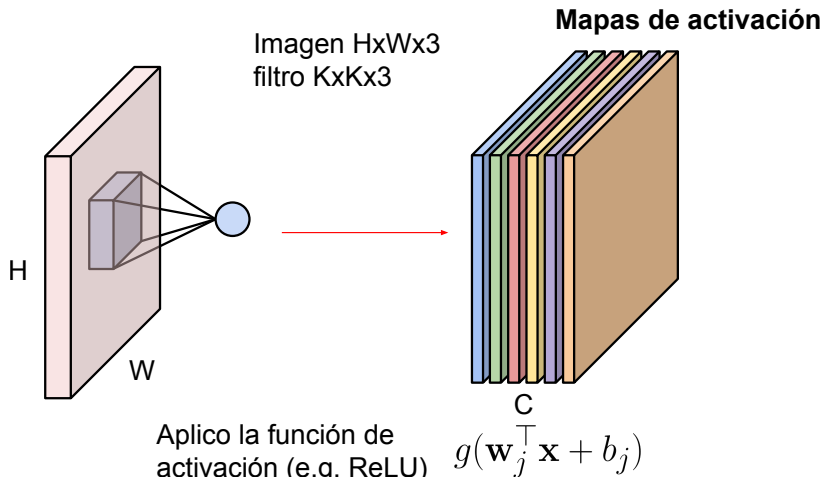
# Capa de convolución



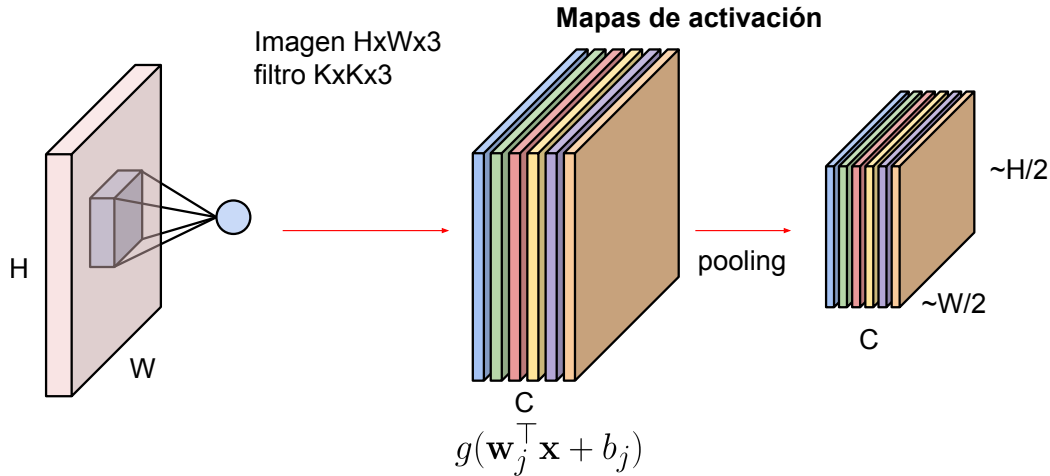
# Capa de convolución



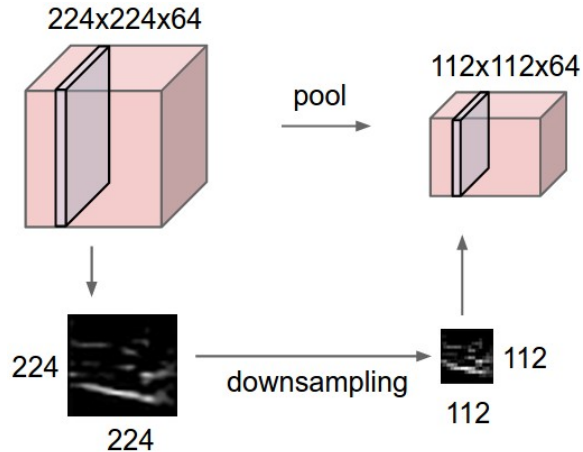
# Capa de convolución



# Capa de convolución



# Pooling



# Arquitectura típica de una CNN

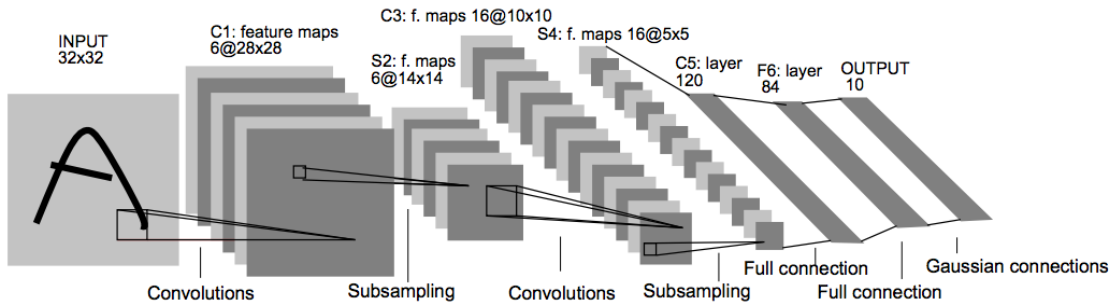
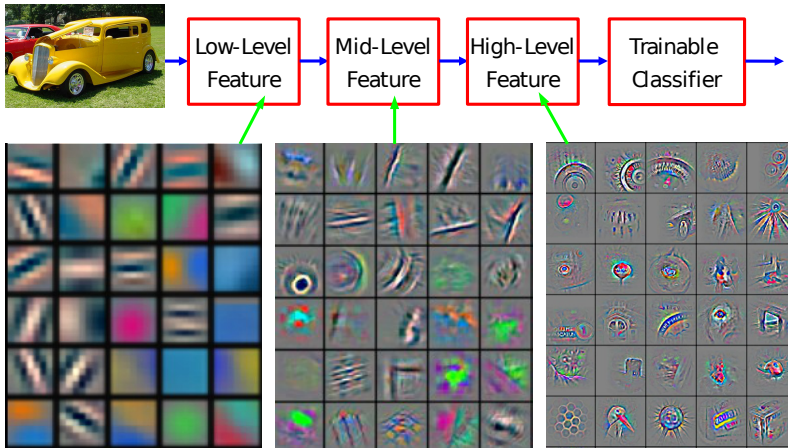


Fig. 2. Architecture of LeNet-5, a Convolutional Neural Network, here for digits recognition. Each plane is a feature map, i.e. a set of units whose weights are constrained to be identical.

- Arquitectura LeNet-5, propuesta por *Yann Lecun et al. 1998*

# ¿Qué filtros aprende una CNN?



Feature visualization of convolutional net trained on ImageNet from [Zeiler & Fergus 2013]

Slide de Y. Lecun

# ¿Qué filtros aprende una CNN?

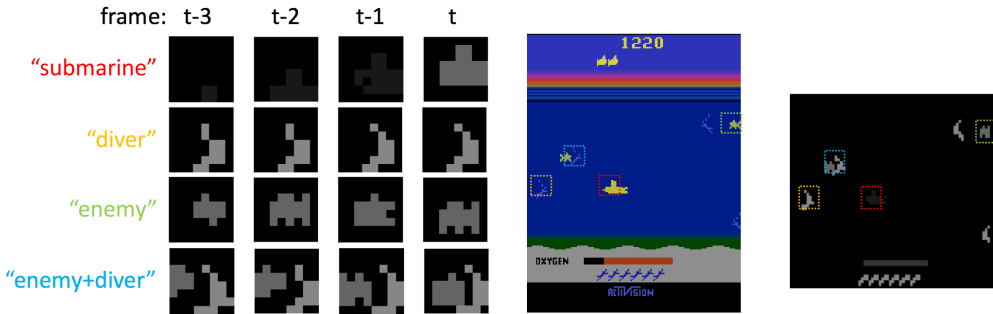


Figure 2: Visualization of the first-layer features learned from Seaquest. (Left) visualization of four first-layer filters; each filter covers four frames, showing the spatio-temporal template. (Middle) a captured screen. (Right) gray-scale version of the input screen which is fed into the CNN. Four filters were color-coded and visualized as dotted bounding boxes at the locations where they get activated. This figure is best viewed in color.

- ① Perceptrón multicapa
- ② Aproximación versus generalización
- ③ Regularización y validación
- ④ Redes neuronales profundas
- ⑤ Redes neuronales convolucionales
- ⑥ Redes neuronales recurrentes

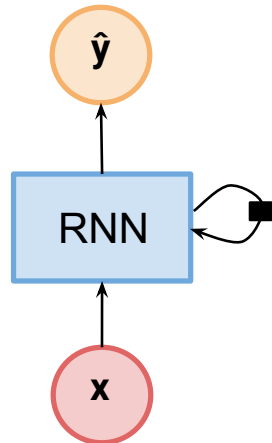
# Redes neuronales recurrentes (RNN)

- para problemas secuenciales donde
  - largo de las secuencias de entrada/salida variable
  - quiero guardar información de la *historia*
- guardan un estado oculto  $h_t$  que depende de la entrada actual y el estado anterior  $h_{t-1}$

$$h_t = f_w(h_{t-1}, x_t)$$

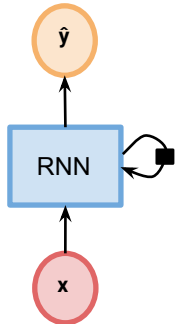
- ejemplo básico de RNN

$$\begin{aligned} h_t &= \tanh(W_{hh}h_{t-1} + W_{hx}x_t) \\ \hat{y}_t &= W_{hy}h_t \end{aligned}$$



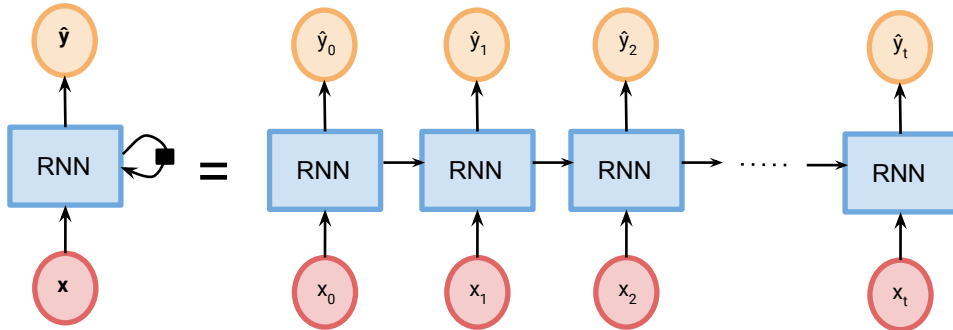
# Redes neuronales recurrentes (RNN)

- Una red neuronal recurrente puede pensarse como múltiples copias de la misma red donde cada una le pasa un mensaje (estado) al sucesor



# Redes neuronales recurrentes (RNN)

- Una red neuronal recurrente puede pensarse como múltiples copias de la misma red donde cada una le pasa un mensaje (estado) al sucesor

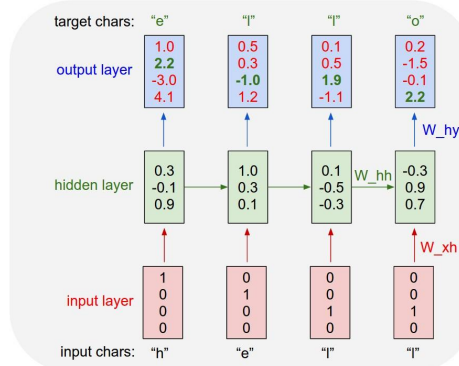


# Modelado de lenguaje a nivel de carácter

## Example: Character-level Language Model

Vocabulary:  
[h,e,l,o]

Example training  
sequence:  
“hello”



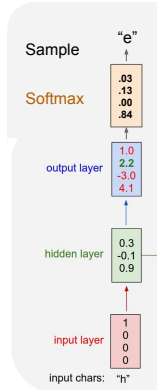
Slides tomadas de [cs231n](#) (Stanford) - Fei-Fei Li & Justin Johnson & Serena Yeung

# Modelado de lenguaje a nivel de carácter

**Example:  
Character-level  
Language Model  
Sampling**

Vocabulary:  
[h,e,l,o]

At test-time sample  
characters one at a time,  
feed back to model



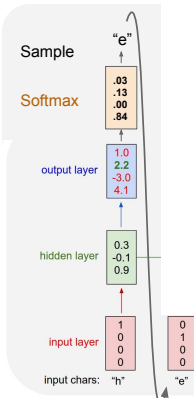
Slides tomadas de [cs231n](#) (Stanford) - Fei-Fei Li & Justin Johnson & Serena Yeung

# Modelado de lenguaje a nivel de carácter

## Example: Character-level Language Model Sampling

Vocabulary:  
[h,e,l,o]

At test-time sample  
characters one at a time,  
feed back to model



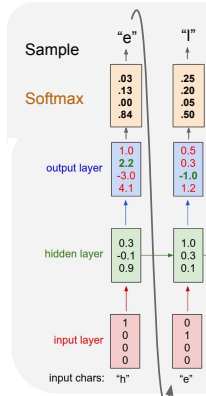
Slides tomadas de [cs231n](#) (Stanford) - Fei-Fei Li & Justin Johnson & Serena Yeung

# Modelado de lenguaje a nivel de carácter

**Example:  
Character-level  
Language Model  
Sampling**

Vocabulary:  
[h,e,l,o]

At test-time sample  
characters one at a time,  
feed back to model



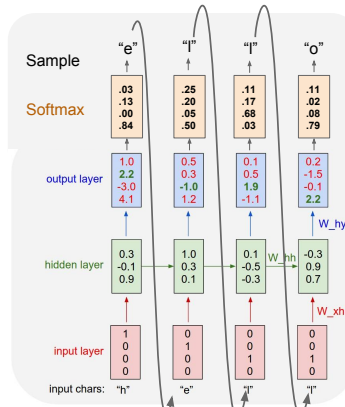
Slides tomadas de [cs231n](#) (Stanford) - Fei-Fei Li & Justin Johnson & Serena Yeung

# Modelado de lenguaje a nivel de carácter

## Example: Character-level Language Model Sampling

Vocabulary:  
[h,e,l,o]

At test-time sample  
characters one at a time,  
feed back to model



Slides tomadas de [cs231n](#) (Stanford) - Fei-Fei Li & Justin Johnson & Serena Yeung

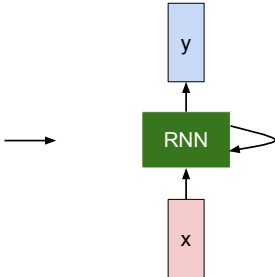
# Modelado de lenguaje a nivel de carácter

## THE SONNETS

by William Shakespeare

From fairest creatures we desire increase,  
That thereby beauty's more生 than die,  
But as the riper should by time decrease,  
His tender heir might bear his memory:  
But thou, contracted to thine own bright eyes,  
Feed'st thy ligh's flame with self-substantial fuel,  
Making a famine where abundance lies,  
Thyself thy foe, to thy sweet self too cruel:  
Thou that art now the world's fresh ornament,  
And only herald to the gaudy spring,  
Within thine own bud buried thy content,  
And tender churl mak'st waste in niggarding:  
Pity the world, or else this gluton be,  
To eat the world's due, by the grave and thee.

When forty winters shall beset thy brow,  
And dig deep trenches in thy beauty's field,  
Thy youth's proud livery so gazed on now,  
Will be a tatter'd weed of small worth held:  
Then being asked, where all thy beauty lies,  
Where all the treasure of thy lusty days;  
To say, within thine own deep sunken eyes,  
Were an all-eating shame, and thriftless praise.  
How much more praise deserved thy beauty's use,  
If thou couldest answer. This fair child of mine  
Shall some奇事, and by my old excuse,  
Proving his heurty by succession thine!  
This were to be new made when thou art old,  
And see thy blood warm when thou feell'st it cold.



Slides tomadas de [cs231n](#) (Stanford) - Fei-Fei Li & Justin Johnson & Serena Yeung

# Modelado de lenguaje a nivel de carácter

at first:

tyntd-iafhatawiaoahrdemot lytdws e ,tfti, astai f ogoh eoase rrranbyne 'nhthnee e  
plia tklrgd t o idoe ns,smtt h ne etie h,hregtrs nigtike,aoaenns lng

↓ train more

"Tmont thithey" fomesscerliund  
Keushey. Thom here  
sheulke, anmerenith ol sivh I lalterthend Bleipile shuwy fil on aseterlome  
coaniogennc Phe lism thond hon at. MeiDimorotion in ther thize."

↓ train more

Aftair fall unsuch that the hall for Prince Velzonski's that me of  
her hearly, and behs to so arwage fiving were to it beloge, pavu say falling misfort  
how, and Gogition is so overelical and ofter.

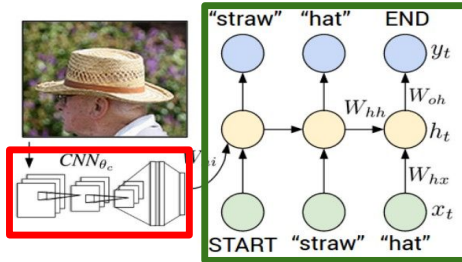
↓ train more

"Why do what that day," replied Natasha, and wishing to himself the fact the  
princess, Princess Mary was easier, fed in had oftened him.  
Pierre aking his soul came to the packs and drove up his father-in-law women.

Slides tomadas de [cs231n](#) (Stanford) - Fei-Fei Li & Justin Johnson & Serena Yeung

# Generación automática de leyenda en imágenes

## Recurrent Neural Network



## Convolutional Neural Network

Andrej Karpathy Li Fei-Fei

"Deep Visual-Semantic Alignments for Generating Image Descriptions"

# Generación automática de leyenda en imágenes

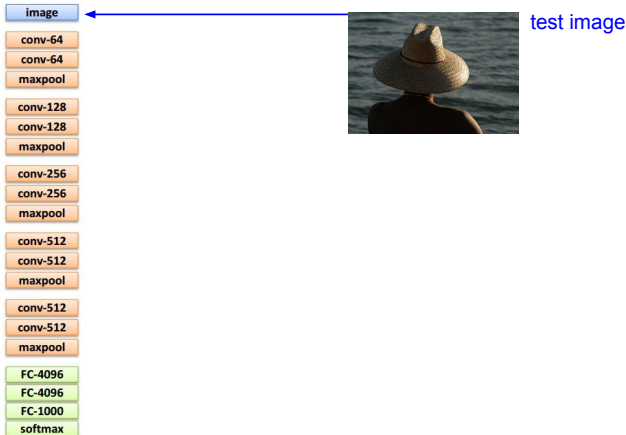


test image

This image is CC0 public domain

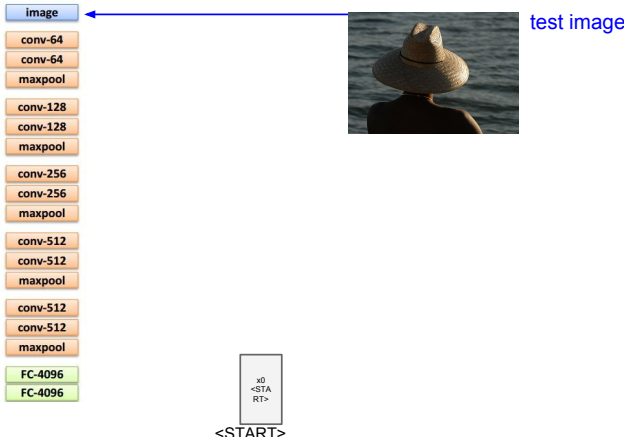
Slides tomadas de [cs231n](#) (Stanford) - Fei-Fei Li & Justin Johnson & Serena Yeung

# Generación automática de leyenda en imágenes



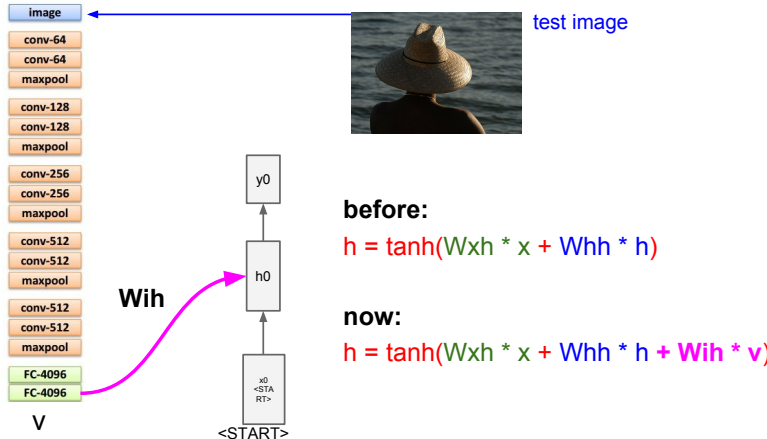
Slides tomadas de [cs231n](#) (Stanford) - Fei-Fei Li & Justin Johnson & Serena Yeung

# Generación automática de leyenda en imágenes



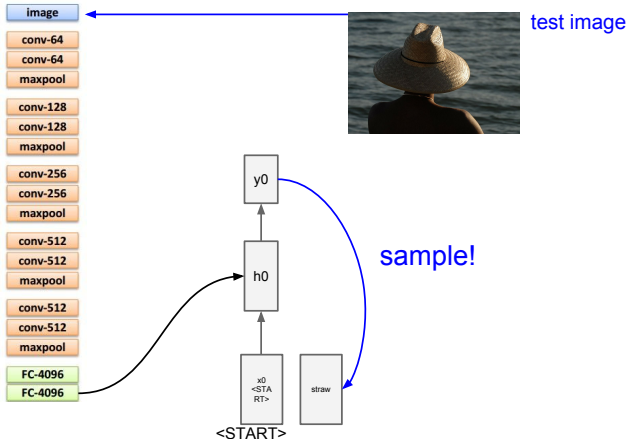
Slides tomadas de [cs231n](#) (Stanford) - Fei-Fei Li & Justin Johnson & Serena Yeung

# Generación automática de leyenda en imágenes



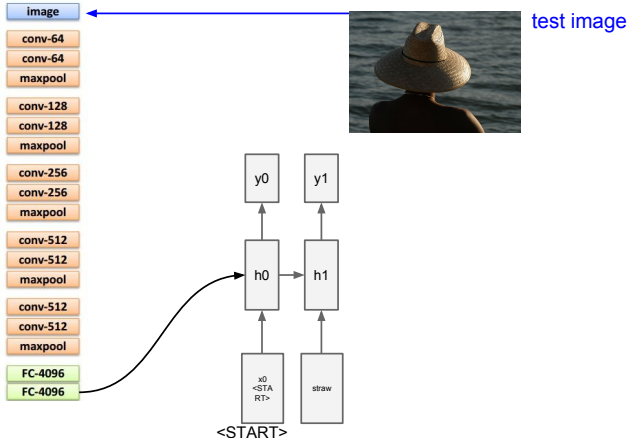
Slides tomadas de [cs231n](#) (Stanford) - Fei-Fei Li & Justin Johnson & Serena Yeung

# Generación automática de leyenda en imágenes



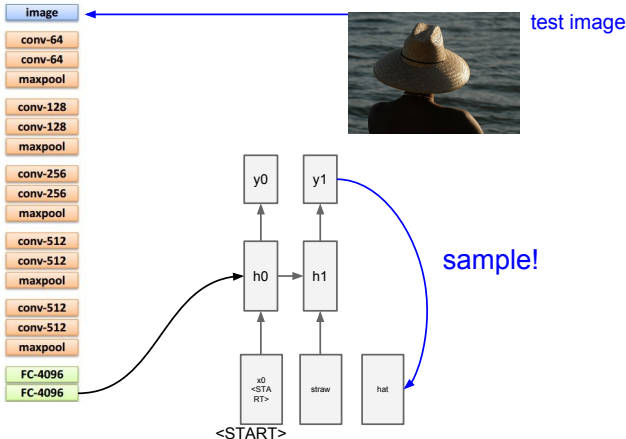
Slides tomadas de [cs231n](#) (Stanford) - Fei-Fei Li & Justin Johnson & Serena Yeung

# Generación automática de leyenda en imágenes



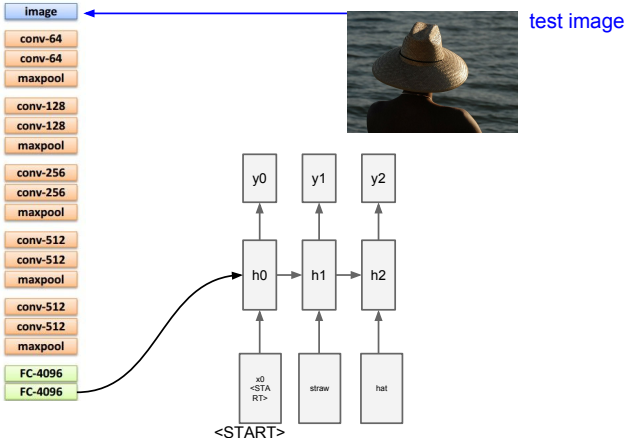
Slides tomadas de [cs231n](#) (Stanford) - Fei-Fei Li & Justin Johnson & Serena Yeung

# Generación automática de leyenda en imágenes



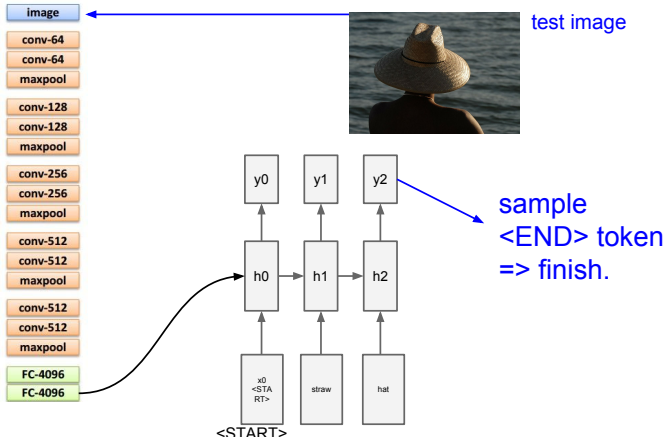
Slides tomadas de [cs231n](#) (Stanford) - Fei-Fei Li & Justin Johnson & Serena Yeung

# Generación automática de leyenda en imágenes



Slides tomadas de [cs231n](#) (Stanford) - Fei-Fei Li & Justin Johnson & Serena Yeung

# Generación automática de leyenda en imágenes



Slides tomadas de [cs231n](#) (Stanford) - Fei-Fei Li & Justin Johnson & Serena Yeung

# Generación automática de leyenda en imágenes

## Image Captioning: Example Results

Captions generated using neuraltalk-2  
All images are CC0 Public domain:  
[cat suitcase](#) [cat tree](#) [dog bear](#)  
[dirties tennis](#) [pirate motorcycle](#)



A cat sitting on a suitcase on the floor



A cat is sitting on a tree branch



A dog is running in the grass with a frisbee



A white teddy bear sitting in the grass



Two people walking on the beach with surfboards



A tennis player in action on the court



Two giraffes standing in a grassy field



A man riding a dirt bike on a dirt track

Slides tomadas de [cs231n](#) (Stanford) - Fei-Fei Li & Justin Johnson & Serena Yeung

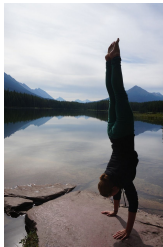
# Generación automática de leyenda en imágenes

## Image Captioning: Failure Cases

Captions generated using neuraltalk-2  
All images are CC0 Public domain: fur  
coat, handstand, spider web, baseball



A woman is holding a cat in her hand



A woman standing on a beach holding a surfboard



A bird is perched on a tree branch



A person holding a computer mouse on a desk



A man in a baseball uniform throwing a ball

Slides tomadas de [cs231n](#) (Stanford) - Fei-Fei Li & Justin Johnson & Serena Yeung

# Referencias

-  D. E. Rumelhart, G. E. Hinton, and R. J. Williams, "Learning representations by back-propagating errors," *Nature*, vol. 323, no. 6088, pp. 533–536, 1986.
-  G. Cybenko, "Approximation by superpositions of a sigmoidal function," *Mathematics of Control, Signals and Systems*, vol. 2, no. 4, pp. 303–314, 1989.
-  K. Hornik, "Approximation capabilities of multilayer feedforward networks," *Neural Networks*, vol. 4, no. 2, pp. 251–257, 1991.
-  Z. Lu, H. Pu, F. Wang, Z. Hu, and L. Wang, "The expressive power of neural networks: A view from the width," in *Advances in NIPS*, vol. 30, 2017.
-  A. Géron, *Hands-On Machine Learning with Scikit-Learn, Keras, and TensorFlow, 2nd Edition*. O'Reilly Media, Inc., 2019.